

представлялось возможным. Однако в кристалле, подвергнутом продольному сдвигу при высокой температуре, наблюдались цепочки петель размером порядка  $5 \times 10$  мкм (рис. 1, 2). Линии, вдоль которых они располагались, соответствовали скорее всего границе сдвига материала.

Ранее нами было показано [15], что в условиях продольного сдвига в результате пересечения трещиной субграницы (СГ) наклона при последующем залечивании вдоль границы остается вскрытый участок — канал. Оптически он мог наблюдаваться, лишь если относительное смещение берегов было не менее нескольких десятков или сотен микрон. В кристаллах  $\text{CaF}_2$  сдвиг поверхностей разрушения составлял  $< 0.5$  мкм. Углы разориентировки блоков не превышали  $40'$ . Следовательно, возникающая невязка оптически зарегистрирована быть не могла. Метод декорирования позволил визуализировать плоскость залечивания. Оказалось, что в условиях малых сдвигов канал вдоль СГ наклона распадается на систему изолированных пор, локализованных вблизи ступеней скола (рис. 2). Подтверждением незалечивания вдоль СГ служит и то обстоятельство, что в плоскости трещины границы не видны, хотя в матрице кристалла они хорошо заметны и не прерываются ни ниже трещины, ни над ней. Аналогичная картина наблюдается и в случае винтовых границ.

### Список литературы

- [1] Шаскольская М. П., Ван Янь-вэнь, Гу Шу-чжако // Кристаллография, 1961. Т. 6. № 4. С. 605—613.
- [2] Слезов В. В. // ФММ. 1964. Т. 16. № 3. С. 785—794.
- [3] Остриков М. С. // ДАН СССР. 1961. Т. 136. № 6. С. 1380—1383.
- [4] Грдина Ю. В., Неверов В. В. // Кристаллография. 1967. Т. 12. № 3. С. 493—498.
- [5] Финкель В. М., Курганская Л. А., Сафонов В. П. // ФТТ. 1985. Т. 27. № 1. С. 189—191.
- [6] Амелинкис С. // Дислокация и механические свойства кристаллов. М., 1960.
- [7] Леммлейн Г. Г. // ДАН СССР. 1947. Т. 58. № 9. С. 1939.
- [8] Финкель В. М., Шарафутдинов Р. Ф., Шишгин М. В. // ФТТ. 1967. Т. 9. № 1. С. 167—170.
- [9] Дицлер Г. И., Лебедева В. Н., Москвин В. В. // ФТТ. 1968. Т. 10. № 11. С. 3489.
- [10] Дицлер Г. И. // Рост кристаллов. Т. II. Ереван, 1975. С. 47.
- [11] Трофимов В. И., Черников В. Н., Лукьянович В. М. // ФТТ. 1969. Т. 11. № 12. С. 3655—3657.
- [12] Пшеничнов Ю. П. Выявление тонкой структуры кристаллов. М., 1974. 528 с.
- [13] Лодиз Р., Паркер Р. Рост монокристаллов. М., 1974. 540 с.
- [14] Хирт Дж., Лоте И. Теория дислокаций. М., 1972. 599 с.
- [15] Финкель В. М., Дорохова Н. В. // ФТТ. 1988. Т. 30. № 6. С. 1894—1896.

Поступило в Редакцию  
2 апреля 1990 г.

УДК 537.226

© Физика твердого тела, том 32, № 10, 1990  
Solid State Physics, vol. 32, N 10, 1990

## ВЛИЯНИЕ ОДНООСНОГО ДАВЛЕНИЯ НА ПОЛИДОМЕННУЮ СТРУКТУРУ ПОЛЯРНОЙ ФАЗЫ КРИСТАЛЛА ТМА— $\text{ZnCl}_4$ ПО ДАННЫМ ЭЛЕКТРИЧЕСКИХ ИЗМЕРЕНИЙ

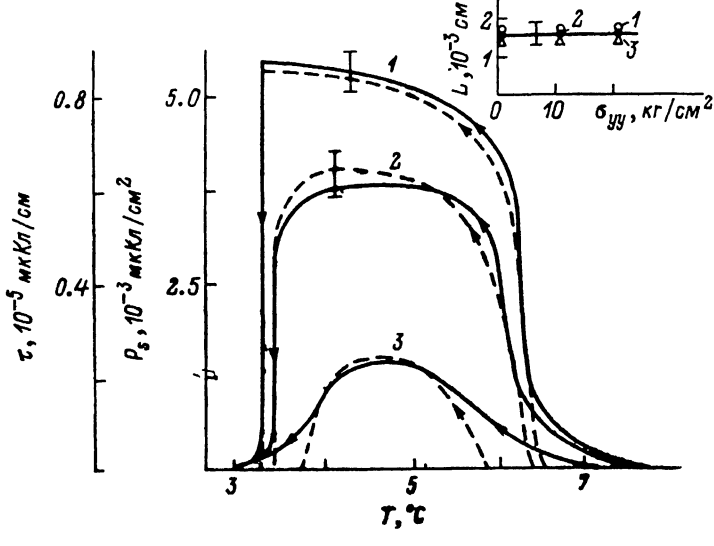
С. Н. Каллаев, В. В. Гладкий

В [1] сообщалось об обнаружении эффекта подавления сегнетоэлектричества малым одноосным механическим напряжением сжатия в кристаллах  $(\text{N}(\text{CH}_3)_4)_2\text{ZnCl}_4$  (ТМА— $\text{ZnCl}_4$ ). Этот вывод сделан на основании данных измерения спонтанной поляризации по петлям диэлектрического гистерезиса зависимости поляризации  $P$  от электрического поля  $E$ , т. е. для

кристалла, ставшего монодоменным в результате воздействия поляризующего поля  $E$ .

В настоящем сообщении приводятся результаты электрических измерений, на основании которых можно получить представление о том, что происходит с доменной структурой полидоменного кристалла TMA-ZnCl<sub>4</sub> в результате одноосного давления.

Заключение о характере изменения доменной структуры сегнетоэлектрика (спонтанной поляризации  $P_s$ , ширине доменов  $L$ , подвижности доменных стенок) можно сделать на основании анализа данных измерения поляризации в поле  $E$ ,  $P_s$  и спонтанного макроскопического квадрупольного момента  $q$  [2]. В кристаллах TMA-ZnCl<sub>4</sub> аномальной компонентой  $q$  является  $q_{xz} = (1/2) P_s L$  (ось  $X \parallel P_s$ ), а ось  $Z$  совпадает с направлением



Температурные зависимости спонтанной поляризации  $P_s$  (штриховые линии) и связанный электрического заряда  $\tau = 2q_{xz} = P_s L$  (сплошные линии) при  $\sigma_{yy} = 0$  (1), 11 (2), 21 кг/см<sup>2</sup> (3) для кристалла TMA-ZnCl<sub>4</sub>.

На вставке — зависимость ширины сегнетоэлектрических доменов  $L$  от  $\sigma_{yy}$  при различных температурах в полярной фазе. 1 — 5.5, 2 — 4.8, 3 — 3.9 °С.

структурной модуляции в полярной и несоразмерной фазах кристалла [3]. Измерение  $q_{xz}$  можно провести, регистрируя связанный электрический заряд, возникающий на параллельных осях  $Y$  четырех ребрах прямоугольного образца кристалла с линейной плотностью  $\tau = 2q_{xz}$  [4]. Тогда, пользуясь данными для  $P_s$  и  $\tau$ , можно оценить среднюю ширину доменов  $L = \tau/P_s$ . Такая оценка должна быть тем надежнее, чем регулярнее доменная структура. Согласно прямым наблюдениям [5], доменная структура в TMA-ZnCl<sub>4</sub> является достаточно регулярной.

Образцы имели форму прямоугольного параллелепипеда с ребрами, ориентированными вдоль кристаллографических осей  $a$  ( $X$ ),  $b$  ( $Y$ ),  $c$  ( $Z$ ) размерами соответственно  $2.7 \times 2.5 \times 2.6$  мм. При измерении  $P_x$  в поле  $E_x$  и  $P_s$  грани, перпендикулярные оси  $X$ , а при измерении  $\tau$  ребра, параллельные оси  $Y$ , покрывались серебряными электродами. Одноосное давление  $\sigma_{yy}$  передавалось на образец вдоль оси  $Y$ . Измерение  $P_x$  и  $P_s$  проводилось в переменном поле 50 Гц, а также электрометрическим методом, измерение  $\tau$  — электрометрическим методом [4].

Основные результаты измерений приведены на рисунке. Отметим сначала удовлетворительное совпадение экспериментальных  $\tau_{\text{эксп}}$  и расчетных  $\tau_{\text{расч}}$  значений заряда  $\tau$  в отсутствие давления  $\sigma_{yy}$ . Приблизительно в середине полярной фазы  $\tau_{\text{эксп}} = (8.5 \pm 0.5) \cdot 10^{-6}$ ,  $\tau_{\text{расч}} = P_s L = (3 \div 10) \times 10^{-6} \text{ мкКл/см}$ , где  $P_s = (5.25 \pm 0.25) \cdot 10^{-3} \text{ мкКл/см}^2$ ,  $L = (5 \div 20) \cdot 10^{-4} \text{ см}$ . Неопределенность в данных  $P_s$  (~12 %) является в основном результатом

различия значений  $P_s$ , полученных в переменном поле и электрометрическим методом. Данные для  $L$  заимствованы из результатов прямых измерений [5].

Из рисунка видно, что поведение  $\tau$  (сплошные линии) и  $P_s$  (штриховые линии) под давлением  $\sigma_{yy}$  одинаково внутри полярной фазы —  $\tau$  и  $P_s$  изменяются приблизительно по одному закону. Вне полярной фазы поведение  $P_s$  и  $\tau$  различно:  $P_s = 0$ , а  $\tau \neq 0$  и плавно уменьшается с температурой при удалении от полярной фазы. Появление отличного от нуля  $\tau$  вне полярной фазы типично для несоразмерных фаз ( $H$ -фаз) в сегнетоэлектриках, где существует пространственно-модулированная поляризация [4]. Существование  $H$ -фазы справа на температурной шкале от полярной фазы доказано прямым методом рассеяния нейтронов [6]. Появление  $\tau \neq 0$  при  $\sigma_{yy} \neq 0$  слева от полярной фазы может быть следствием индуцирования давлением  $\sigma_{yy}$  еще одной  $H$ -фазы, которая вклинивается между полярной и сегнетоэластической фазами. Последнее заключение не противоречит также предположению в [3] об индуцировании в ТМА  $ZnCl_4$  второй  $H$ -фазы при гидростатическом давлении.

Совпадение зависимостей  $\tau$  и  $P_s$  от температуры и давления  $\sigma_{yy}$  внутри полярной фазы в пределах точности измерений указывает на то, что  $\tau$  пропорционально  $P_s$ , а другие величины, влияющие на значения измеряемых  $\tau$  и  $P_s$ , остаются практически постоянными. Оценка  $L$  по данным для  $\tau$  и  $P_s$  дает значение  $L = \tau/P_s = (16 \pm 2) \cdot 10^{-4}$  см (вставка на рисунке), что согласуется с данными прямых измерений в [5]. Подвижность же доменных границ, которая могла бы существенно влиять на результаты измерения  $P_s$ , вызывая расхождение кривых  $\tau(T)$  и  $P_s(T)$  при различных значениях  $\sigma_{yy}$ , также практически остается постоянной.

Таким образом, результаты измерений свидетельствуют о том, что и в полидоменном кристалле ТМА— $ZnCl_4$  одноосное давление  $\sigma_{yy}$  существенно влияет только на спонтанную поляризацию и практически не влияет на другие параметры доменной структуры.

#### Список литературы

- [1] Каллаев С. Н., Гладкий В. В., Кириков В. А., Шувалов Л. А. // Письма в ЖЭТФ. 1989. Т. 50. № 2. С. 98—101.
- [2] Gladkii V. V., Smutny F., Fousek J., Kroupa J. // Ferroelectrics Lett. 1984. V. 2. N 5. P. 177—183.
- [3] Shimizu H., Kokubo N., Yasuda N., Fujimoto S. // J. Phys. Soc. Jap. 1980. V. 49. N 1. P. 223—229.
- [4] Gladkii V. V. // Phase Transitions Sect. A. 1986. V. 6. N 4. P. 273—328.
- [5] Le Bihan R., Avery D., Hilcer B., Szepnaska L. // Ferroelectrics Lett. 1989. V. 9. N 6. P. 151—154.
- [6] Gesi K., Tizumi M. // J. Phys. Soc. Jap. Lett. 1980. V. 48. N 1. P. 337—338.

Институт кристаллографии АН СССР  
Москва

Поступило в Редакцию  
6 апреля 1990 г.

УДК 548.4

© Физика твердого тела, том 32, № 10, 1990  
Solid State Physics, vol. 32, N 10, 1990

#### СТАРЕНИЕ ВИНТОВЫХ ДИСЛОКАЦИЙ В ОБЪЕМЕ И У ПОВЕРХНОСТИ КРИСТАЛЛОВ NaCl

B. G. Весна, H. H. Новиков, O. B. Руденко, H. A. Сидорин

В [1, 2] обнаружено, что дислокационные полупетли, выходящие винтовыми участками на поверхность кристалла, подвержены достаточно интенсивным процессам старения. В этих опытах наблюдались дислокации, контактирующие при старении с внешней средой (воздухом). Был сде-